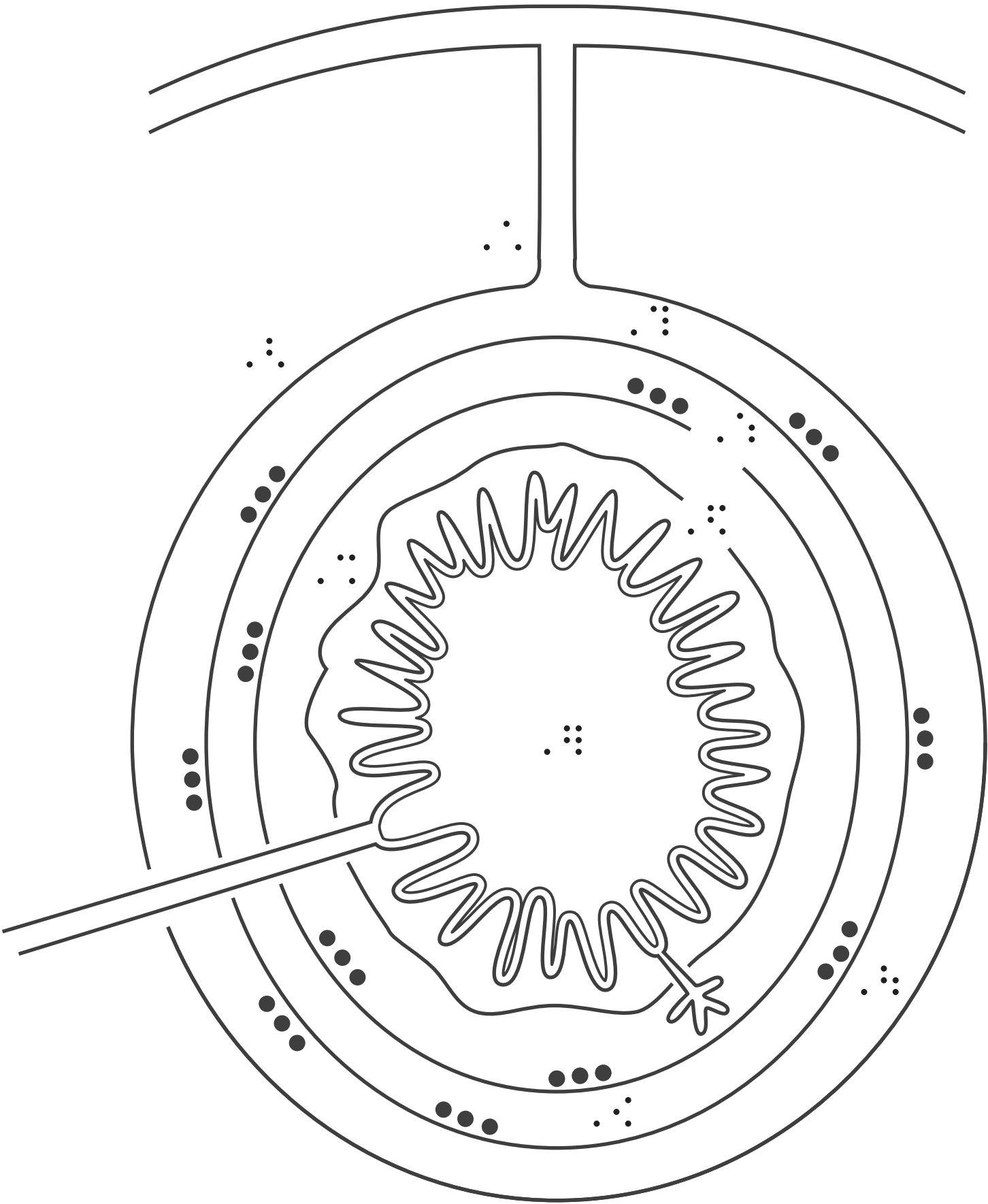


Le tableau ci-dessous résume les données expérimentales obtenues lors de la mesure de la concentration sanguine de corticostérone chez deux groupes de rats (G1 et G2) sous différents traitements (T1, T2, T3, T4).

G1		G2	
T1	12,5	T1	15,2
T2	13,8	T2	16,7
T3	14,1	T3	17,3
T4	15,0	T4	18,5
T5	16,2	T5	19,8
T6	17,5	T6	21,0
T7	18,8	T7	22,5
T8	19,5	T8	23,8
T9	20,2	T9	25,0
T10	21,0	T10	26,5
T11	22,5	T11	28,0
T12	24,0	T12	29,5
T13	25,5	T13	31,0
T14	27,0	T14	32,5
T15	28,5	T15	34,0
T16	30,0	T16	35,5
T17	31,5	T17	37,0
T18	33,0	T18	38,5
T19	34,5	T19	40,0
T20	36,0	T20	41,5
T21	37,5	T21	43,0
T22	39,0	T22	44,5
T23	40,5	T23	46,0
T24	42,0	T24	47,5
T25	43,5	T25	49,0
T26	45,0	T26	50,5
T27	46,5	T27	52,0
T28	48,0	T28	53,5
T29	49,5	T29	55,0
T30	51,0	T30	56,5
T31	52,5	T31	58,0
T32	54,0	T32	59,5
T33	55,5	T33	61,0
T34	57,0	T34	62,5
T35	58,5	T35	64,0
T36	60,0	T36	65,5
T37	61,5	T37	67,0
T38	63,0	T38	68,5
T39	64,5	T39	70,0
T40	66,0	T40	71,5
T41	67,5	T41	73,0
T42	69,0	T42	74,5
T43	70,5	T43	76,0
T44	72,0	T44	77,5
T45	73,5	T45	79,0
T46	75,0	T46	80,5
T47	76,5	T47	82,0
T48	78,0	T48	83,5
T49	79,5	T49	85,0
T50	81,0	T50	86,5
T51	82,5	T51	88,0
T52	84,0	T52	89,5
T53	85,5	T53	91,0
T54	87,0	T54	92,5
T55	88,5	T55	94,0
T56	90,0	T56	95,5
T57	91,5	T57	97,0
T58	93,0	T58	98,5
T59	94,5	T59	100,0
T60	96,0	T60	101,5
T61	97,5	T61	103,0
T62	99,0	T62	104,5
T63	100,5	T63	106,0
T64	102,0	T64	107,5
T65	103,5	T65	109,0
T66	105,0	T66	110,5
T67	106,5	T67	112,0
T68	108,0	T68	113,5
T69	109,5	T69	115,0
T70	111,0	T70	116,5
T71	112,5	T71	118,0
T72	114,0	T72	119,5
T73	115,5	T73	121,0
T74	117,0	T74	122,5
T75	118,5	T75	124,0
T76	120,0	T76	125,5
T77	121,5	T77	127,0
T78	123,0	T78	128,5
T79	124,5	T79	130,0
T80	126,0	T80	131,5
T81	127,5	T81	133,0
T82	129,0	T82	134,5
T83	130,5	T83	136,0
T84	132,0	T84	137,5
T85	133,5	T85	139,0
T86	135,0	T86	140,5
T87	136,5	T87	142,0
T88	138,0	T88	143,5
T89	139,5	T89	145,0
T90	141,0	T90	146,5
T91	142,5	T91	148,0
T92	144,0	T92	149,5
T93	145,5	T93	151,0
T94	147,0	T94	152,5
T95	148,5	T95	154,0
T96	150,0	T96	155,5
T97	151,5	T97	157,0
T98	153,0	T98	158,5
T99	154,5	T99	160,0
T100	156,0	T100	161,5
T101	157,5	T101	163,0
T102	159,0	T102	164,5
T103	160,5	T103	166,0
T104	162,0	T104	167,5
T105	163,5	T105	169,0
T106	165,0	T106	170,5
T107	166,5	T107	172,0
T108	168,0	T108	173,5
T109	169,5	T109	175,0
T110	171,0	T110	176,5
T111	172,5	T111	178,0
T112	174,0	T112	179,5
T113	175,5	T113	181,0
T114	177,0	T114	182,5
T115	178,5	T115	184,0
T116	180,0	T116	185,5
T117	181,5	T117	187,0
T118	183,0	T118	188,5
T119	184,5	T119	190,0
T120	186,0	T120	191,5
T121	187,5	T121	193,0
T122	189,0	T122	194,5
T123	190,5	T123	196,0
T124	192,0	T124	197,5
T125	193,5	T125	199,0
T126	195,0	T126	200,5
T127	196,5	T127	202,0
T128	198,0	T128	203,5
T129	199,5	T129	205,0
T130	201,0	T130	206,5
T131	202,5	T131	208,0
T132	204,0	T132	209,5
T133	205,5	T133	211,0
T134	207,0	T134	212,5
T135	208,5	T135	214,0
T136	210,0	T136	215,5
T137	211,5	T137	217,0
T138	213,0	T138	218,5
T139	214,5	T139	220,0
T140	216,0	T140	221,5
T141	217,5	T141	223,0
T142	219,0	T142	224,5
T143	220,5	T143	226,0
T144	222,0	T144	227,5
T145	223,5	T145	229,0
T146	225,0	T146	230,5
T147	226,5	T147	232,0
T148	228,0	T148	233,5
T149	229,5	T149	235,0
T150	231,0	T150	236,5
T151	232,5	T151	238,0
T152	234,0	T152	239,5
T153	235,5	T153	241,0
T154	237,0	T154	242,5
T155	238,5	T155	244,0
T156	240,0	T156	245,5
T157	241,5	T157	247,0
T158	243,0	T158	248,5
T159	244,5	T159	250,0
T160	246,0	T160	251,5
T161	247,5	T161	253,0
T162	249,0	T162	254,5
T163	250,5	T163	256,0
T164	252,0	T164	257,5
T165	253,5	T165	259,0
T166	255,0	T166	260,5
T167	256,5	T167	262,0
T168	258,0	T168	263,5
T169	259,5	T169	265,0
T170	261,0	T170	266,5
T171	262,5	T171	268,0
T172	264,0	T172	269,5
T173	265,5	T173	271,0
T174	267,0	T174	272,5
T175	268,5	T175	274,0
T176	270,0	T176	275,5
T177	271,5	T177	277,0
T178	273,0	T178	278,5
T179	274,5	T179	280,0
T180	276,0	T180	281,5
T181	277,5	T181	283,0
T182	279,0	T182	284,5
T183	280,5	T183	286,0
T184	282,0	T184	287,5
T185	283,5	T185	289,0
T186	285,0	T186	290,5
T187	286,5	T187	292,0
T188	288,0	T188	293,5
T189	289,5	T189	295,0
T190	291,0	T190	296,5
T191	292,5	T191	298,0
T192	294,0	T192	299,5
T193	295,5	T193	301,0
T194	297,0	T194	302,5
T195	298,5	T195	304,0
T196	300,0	T196	305,5
T197	301,5	T197	307,0
T198	303,0	T198	308,5
T199	304,5	T199	310,0
T200	306,0	T200	311,5
T201	307,5	T201	313,0
T202	309,0	T202	314,5
T203	310,5	T203	316,0
T204	312,0	T204	317,5
T205	313,5	T205	319,0
T206	315,0	T206	320,5
T207	316,5	T207	322,0
T208	318,0	T208	323,5
T209	319,5	T209	325,0
T210	321,0	T210	326,5
T211	322,5	T211	328,0
T212	324,0	T212	329,5
T213	325,5	T213	331,0
T214	327,0	T214	332,5
T215	328,5	T215	334,0
T216	330,0	T216	335,5
T217	331,5	T217	337,0
T218	333,0	T218	338,5
T219	334,5	T219	340,0
T220	336,0	T220	341,5
T221	337,5	T221	343,0
T222	339,0	T222	344,5
T223	340,5	T223	346,0
T224	342,0	T224	347,5
T225	343,5	T225	349,0
T226	345,0	T226	350,5
T227	346,5	T227	352,0
T228	348,0	T228	353,5
T229	349,5	T229	355,0
T230	351,0	T230	356,5
T231	352,5	T231	358,0
T232	354,0	T232	359,5
T233	355,5	T233	361,0
T234	357,0	T234	362,5
T235	358,5	T235	364,0
T236	360,0	T236	365,5
T237	361,5	T237	367,0
T238	363,0	T238	368,5
T239	364,5	T239	370,0
T240	366,0	T240	371,5
T241	367,5	T241	373,0
T242	369,0	T242	374,5
T243	370,5	T243	376,0
T244	372,0	T244	377,5
T245	373,5	T245	379,0
T246	375,0	T246	380,5
T247	376,5	T247	382,0
T248	378,0	T248	383,5
T249	379,5	T249	385,0
T250	381,0	T250	386,5
T251	382,5	T251	388,0
T252	384,0	T252	389,5
T253	385,5	T253	391,0
T254	387,0	T254	392,5
T255	388,5	T255	394,0
T256	390,0	T256	395,5
T257	391,5	T257	397,0
T258	393,0	T258	398,5
T259	394,5	T259	400,0
T260	396,0	T260	401,5
T261	397,5	T261	403,0
T262	399,0	T262	404,5
T263	400,5	T263	406,0
T264	402,0	T264	407,5
T265	403,5	T265	409,0
T266	405,0	T266	410,5
T267	406,5	T267	412,0
T268	408,0	T268	413,5
T269	409,5	T269	415,0
T270	411,0	T270	416,5
T271	412,5	T271	418,0
T272	414,0	T272	419,5
T273	415,5	T273	421,0
T274	417,0	T274	422,5
T275	418,5	T275	424,0
T276	420,0	T276	425,5
T277	421,5	T277	427,0
T278	423,0	T278	428,5
T279	424,5	T279	430,0
T280	426,0	T280	431,5
T281	427,5	T281	433,0
T282	429,0	T282	434,5
T283	430,5	T283	436,0
T284	432,0	T284	437,5
T285	433,5	T285	439,0
T286	435,0	T286	440,5
T287	436,5	T287	442,0
T288	438,0	T288	443,5
T289	439,5	T289	445,0
T290	441,0	T290	446,5
T291	442,5	T291	448,0
T292	444,0	T292	449,5
T293	445,5	T293	451,0
T294	447,0	T294	452,5
T295	448,5	T295	454,0
T296	450,0	T296	455,5
T297	451,5	T297	457,0
T298	453,0	T298	458,5
T299	454,5	T299	460,0
T300	456,0	T300	461,5
T301	457,5	T301	463,0
T302	459,0	T302	464,5
T303	460,5	T303	466,0
T304	462,0	T304	467,5
T305	463,5	T305	469,0
T306	465,0	T306	470,5
T307	466,5	T307	472,0
T308	468,0	T308	473,5
T309	469,5	T309	475,0
T310	471,0	T310	476,5
T311	472,5	T311	478,0
T312	474,0	T312	479,5

La coupe transversale de l'intestin montre une cavité centrale entourée d'une muqueuse plissée en plis circulaires (villosités). Cette muqueuse est recouverte d'une fine couche de cellules épithéliales. L'ensemble est entouré d'une couche de muscle lisse, elle-même entourée d'une couche de tissu conjonctif.

Les villosités sont des projections de la muqueuse qui augmentent la surface d'absorption. Elles sont constituées d'une seule couche de cellules épithéliales. Les cellules sont plus hautes que larges et possèdent un noyau situé près de la base. Les villosités sont séparées par des cryptes, qui sont des dépressions de la muqueuse. Les cryptes contiennent des cellules à sécréter et des cellules souches. Les villosités sont également recouvertes d'une fine couche de mucus.

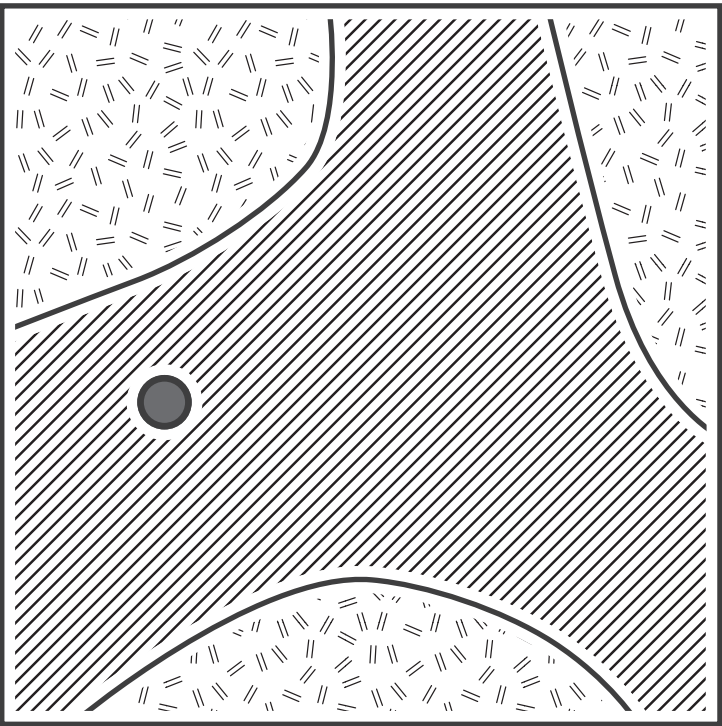


Les photographies au microscope (a, b, c et d) montrent des ganglions du plexus myentérique de la partie proximale (a et b) et distale (c et d) du gros intestin de rats. Les ganglions sont des cellules spécialisées qui contrôlent les contractions musculaires de l'intestin. Ils sont regroupés en plexus, c'est-à-dire en réseaux de cellules. Les photographies (a) et (b) montrent des ganglions de la partie proximale, tandis que (c) et (d) montrent des ganglions de la partie distale. Les ganglions sont représentés par des formes ovales ou rondes, souvent entourés d'une bordure plus épaisse. Les plexus sont représentés par des zones où les ganglions sont plus proches les uns des autres.

Les symboles suivants sont utilisés pour représenter les structures observées :

- Les lignes parallèles (//) représentent les fibres musculaires.
- Les zones hachurées (///) représentent les zones de transition ou les plexus.
- Les formes ovales ou rondes (●) représentent les ganglions.

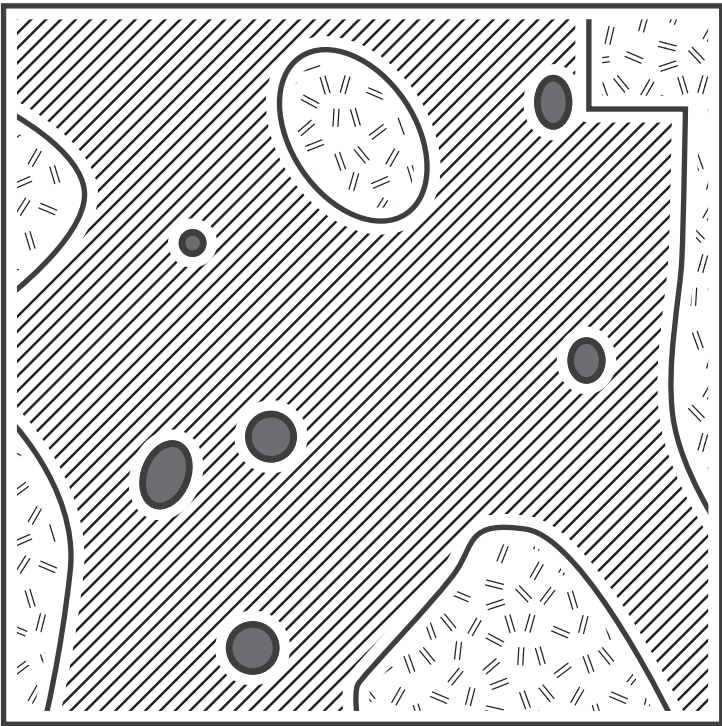
Les photographies (a) et (b) montrent des ganglions de la partie proximale, tandis que (c) et (d) montrent des ganglions de la partie distale. Les ganglions sont représentés par des formes ovales ou rondes, souvent entourés d'une bordure plus épaisse. Les plexus sont représentés par des zones où les ganglions sont plus proches les uns des autres.



Les photographies (a) et (b) montrent des ganglions de la partie proximale, tandis que (c) et (d) montrent des ganglions de la partie distale. Les ganglions sont représentés par des formes ovales ou rondes, souvent entourés d'une bordure plus épaisse. Les plexus sont représentés par des zones où les ganglions sont plus proches les uns des autres.

Les symboles suivants sont utilisés pour représenter les structures observées :

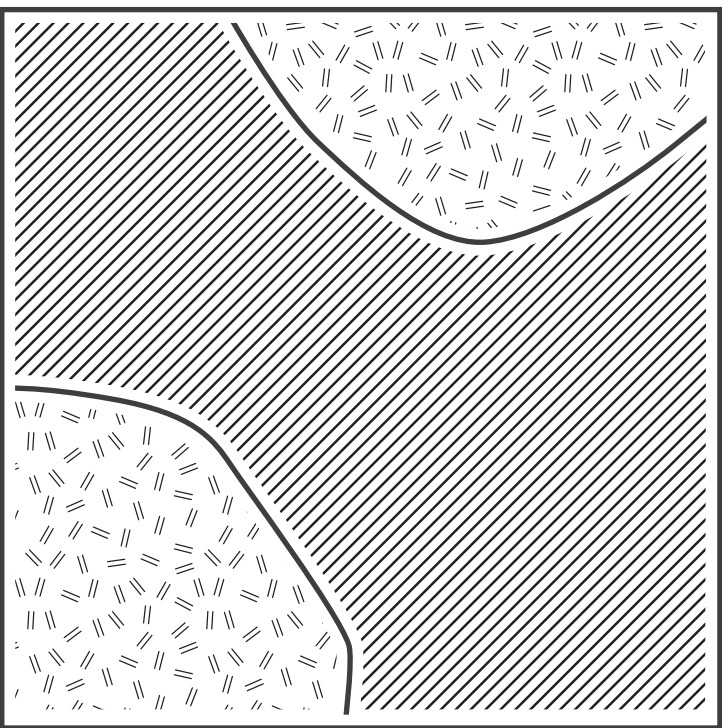
- Les lignes parallèles (//) représentent les fibres musculaires.
- Les zones hachurées (///) représentent les zones de transition ou les plexus.
- Les formes ovales ou rondes (●) représentent les ganglions.



Les symboles suivants sont utilisés pour représenter les structures observées :

- Les lignes parallèles (//) représentent les fibres musculaires.
- Les zones hachurées (///) représentent les zones de transition ou les plexus.
- Les formes ovales ou rondes (●) représentent les ganglions.

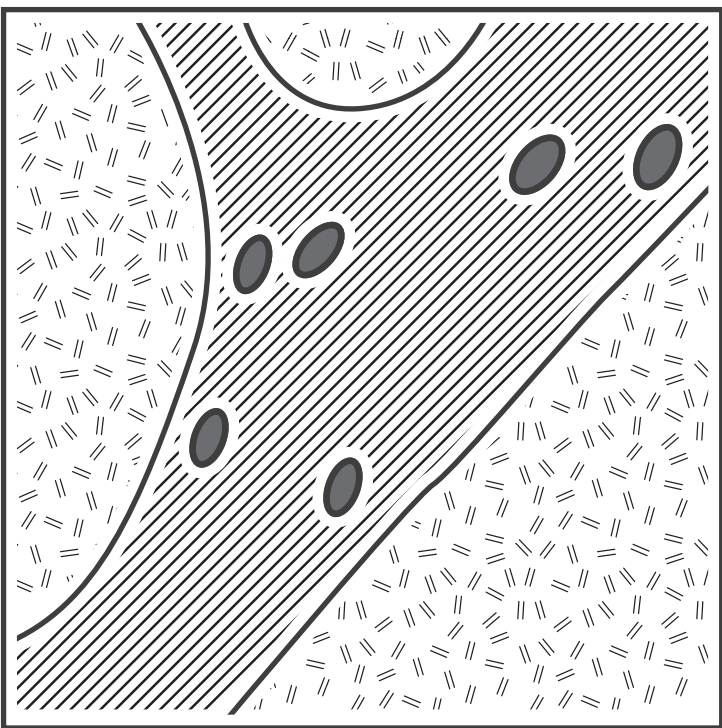
Les photographies (a) et (b) montrent des ganglions de la partie proximale, tandis que (c) et (d) montrent des ganglions de la partie distale. Les ganglions sont représentés par des formes ovales ou rondes, souvent entourés d'une bordure plus épaisse. Les plexus sont représentés par des zones où les ganglions sont plus proches les uns des autres.



Les photographies (a) et (b) montrent des ganglions de la partie proximale, tandis que (c) et (d) montrent des ganglions de la partie distale. Les ganglions sont représentés par des formes ovales ou rondes, souvent entourés d'une bordure plus épaisse. Les plexus sont représentés par des zones où les ganglions sont plus proches les uns des autres.

Les symboles suivants sont utilisés pour représenter les structures observées :

- Les lignes parallèles (//) représentent les fibres musculaires.
- Les zones hachurées (///) représentent les zones de transition ou les plexus.
- Les formes ovales ou rondes (●) représentent les ganglions.



Les symboles suivants sont utilisés pour représenter les structures observées :

- Les lignes parallèles (//) représentent les fibres musculaires.
- Les zones hachurées (///) représentent les zones de transition ou les plexus.
- Les formes ovales ou rondes (●) représentent les ganglions.

Le graphique ci-dessous illustre les variations de la tension musculaire (en mmHg) au cours d'un cycle de contraction-relaxation. Les données sont présentées sous forme de points reliés par une ligne continue. Les valeurs de tension sont indiquées en mmHg sur l'axe vertical, et le temps en secondes sur l'axe horizontal.

